

THEORETICKÉ ŘEŠENÍ NĚKTERÝCH ÚLOH O PRÁŠKOVITÝCH MATERIALECH

VRATISLAV HORÁLEK, Praha

Úvod

V chemii, ve fysice, v práškové metalurgii, ve stavebnictví, v potravinářském průmyslu, ve výrobě umělých hmot, v elektrotechnice, při výrobě brusních materiálů atd. se setkáváme se sypkými práškovitými materiály. Při prejímání těchto materiálů, při rozbozech kontrolních vzorků, odebraných z výrobního procesu a pod. jsme stavěni před otázky ověření některých měřitelných vlastností těchto materiálů nebo určení stupně promísení, drcení, mletí a pod. Řešení většiny těchto otázek je velmi podobně probráno v Horákově knize [1]. Ve 22 kapitolách této knihy jsou uvedeny různé způsoby měřicích metod pro určení velikosti rozměru, povrchu případně objemu částic a dále jsou podány na základě teorie matematické statistiky i nejrůznější metody vyhodnocování výsledků provedených měření, popsány zásady plánování pokusu atd.

Tento článek obsahuje aplikace matematické statistiky při theoretickém řešení některých dalších úloh o práškovitých materiálech, které v citované práci [1] nejsou uvedeny. Řešení je provedeno pro případy, kdy pracujeme s volnými nepohyblivými částicemi kulovitého tvaru. Řešené úlohy jsou však mikroskopem případně na snímku pozorujeme pouze obrysy částí, které jsou vedeny v různých vzdálenostech od středu kulovitých částic. Řešení těchto úloh, se kterými se setkávame převážně v metalografii, bude uveřejněno později. Zhodnocení a rozbor metod používaných při kvantitativní metalografické analyse (planimetrická, přímková a bodová metoda) byly uvedeny v práci [2].

Přehled řešených úloh a základní předpoklady

Při zjištování stupně promísení různých práškovitých materiálů, při sledování výrobního procesu mletí, při ověřování jakosti přejímaných zásilek těchto materiálů a pod. odebráme vždy z určitého daného celku (várka, dodávka, smlíká a pod.) menší vzorky a na nich pod mikroskopem, pomocí fotografických snímků a pod. hodnotíme určité kvalitativní případně kvantitativní vlastnosti

částic. Otázky, se kterými přicházíme ve styk v praxi při popsaném způsobu sledování, můžeme shrnout do těchto bodů:

- a) Jaka je celková plocha, kterou zaujmají pozorované plochy průmětu částic jednoho druhu na sledované ploše vzorku? — (úloha A.1).
- b) Jaký je celkový povrch těchto částic? — (úloha A.2).
- c) Jaký je celkový objem těchto částic? — (úloha A.3).
- d) Jaký podíl celkové plochy (celkového povrchu, celkového objemu) za- ujímají pozorované částice jednoho druhu, jejichž velikost $x \leq x_0$ (kde x_0 je konst.)? — (úlohy B.1—B.3).

e) Jaký je celkový počet částic na sledované ploše vzorku? — (úloha C.1). Při řešení úloh A.1—A.3 a B.1—B.3 uvažujme vždy oba způsoby mikroskopického určování velikosti x pozorované částice: její délkový rozměr (poloměr, průměr) a obsah jejího průmětu. Příslušné měřicí metody budeme pokládat za známé, případně poukazujeme na kapitoly 3 a 5 v knize [1].

Abychom mohli matematicky formulovat jednoznačně uvedené úlohy, je třeba učinit určité předpoklady o tvaru částic, o jejich rozložení na ploše vzorku, o způsobu odebrání vzorku a případně o zákonom, kterým se řídí rozdělení rozměru částic.

Budeme předpokládat, že:

- a) částice mají kulovitý tvar;
- b) částice vzorku jsou na ploše mikroskopického sklíčka (případně snímku) rozloženy zcela náhodně;
- c) vzorek byl z výrobní dávky případně z dodávky odebrán zcela náhodně; d) rozměry částic mají rozdělení logaritmicko-normální, kterému přísluší hustota

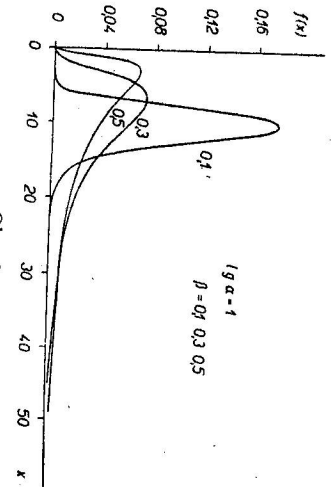
$$f(x) = \frac{1}{\sqrt{2\pi}\beta x} e^{-\frac{1}{2}\left(\frac{\lg x - \lg \alpha}{\beta}\right)^2}, \quad 0 < x < \infty, \quad (1)$$

kde α a β jsou parametry rozdělení, které charakterisují střední hodnotu ($\lg \alpha$) a rozpětí (β^2) logaritmů sledovaného rozměru. Předpoklad d) theoreticky zdůvodnil Kolmogorov v práci [7].

Průběhy hustoty, definované vztahem (1), pro $\lg \alpha = 1$ a $\beta = 0,1; 0,3$ a $0,5$ jsou znázorněny na obr. 1.

U částic, které vznikly drcením, mletím nebo jiným mechanickým působením, se ukazuje dobrá shoda mezi empirickým rozdělením, ziskaným zpracováním výsledků měření, a theoretickým rozdělením, definovaným vztahem (1). V poslední době se objevily aplikace logaritmicko-normálního rozdělení i při vyhodnocování snímků metalografických výbrusů [3]. Nutno však poznat, že rozdělení skutečných rozměrů zrn v materiálovém vzorku se liší od rozdělení rozměrů roviných průseků zrn, které zjišťujeme na rovině výbrusu [4]. S fyzikálního i matematického hlediska je oprávněné použít logaritmicko-normálního rozdělení pouze v případě rozměrů zrn a nikoliv

rozměru rovinutých průseků zrn, jako je použito v práci [3]. Odvození rozdělení průměrů rovinutých průseků zrn za předpokladu logaritmicko-normálního rozdělení průměrů zrn je podáno rovněž v práci [4].



Obr. 1.

Logaritmicko-normální rozdělení

V tomto odstavci si všimneme některých vlastností logaritmicko-normálního rozdělení, které mají význam pro další úvahy.

a) Uvažujme náhodnou proměnnou ξ , které přísluší hustota

$$f(x) = \frac{1}{\sqrt{2\pi} \beta_x} e^{-\frac{1}{2} \left(\frac{\lg x - \lg \alpha_x}{\beta_x} \right)^2}, \quad 0 < x \in \mathbb{R}, \quad (1)$$

kde α_x a β_x jsou parametry, pro které platí tyto vztahy:

$$\lg \alpha_x = E(\lg \xi) = \int_0^\infty \lg x \cdot \frac{1}{\sqrt{2\pi} \beta_x} e^{-\frac{1}{2} \left(\frac{\lg x - \lg \alpha_x}{\beta_x} \right)^2} dx, \quad (2)$$

$$\beta_x^2 = D^2(\lg \xi) = \int_0^\infty (\lg x - \lg \alpha_x)^2 \frac{1}{\sqrt{2\pi} \beta_x} e^{-\frac{1}{2} \left(\frac{\lg x - \lg \alpha_x}{\beta_x} \right)^2} dx. \quad (3)$$

Položme

$$\eta = h \xi^k \quad (h > 0, k > 0), \quad (4)$$

kde h a k jsou známé konstanty. Z rovnice (4) vyplývá

$$\lg x = \frac{1}{k} (\lg y - \lg h). \quad (4')$$

$$\varphi(y) = \frac{1}{\sqrt{2\pi} \beta_y} e^{-\frac{1}{2} \left(\frac{\lg y - \lg \alpha_y}{\beta_y} \right)^2}, \quad (5)$$

kde vzhledem ke vztahům (2) a (3)

$$\left. \begin{aligned} \lg \alpha_y &= E(\lg \eta) = E(k \lg \xi + \lg h) = kE(\lg \xi) + \lg h = k \lg \alpha_x + \lg h, \\ \beta_y^2 &= D^2(\lg \eta) = D^2(k \lg \xi + \lg h) = k^2 D^2(\lg \xi) = k^2 \beta_x^2. \end{aligned} \right\} \quad (6)$$

Ze srovnání vztahů (1) a (5) je zřejmé, že hustota $f(x)$ a $\varphi(y)$ jsou téhož typu. Důkaz vyplývá také přímo z charakteru lineární transformace (4'). Poněvadž transformace vyjádřená rovnici (4) zahrnuje v sobě různé vztahy mezi délkovými, plošnými a objemovými případně vahovými vlastnostmi častic, můžeme vyslovit tuto větu:

Jestliže rozdělení délkových rozměrů častic je logaritmicko-normální, potom jsou těhož typu i rozdělení jakékoli měřitelné vlastnosti častic, kterou lze vyjádřit vzhledem k délkovým rozměrům častic ve tvaru funkce, definované vztahem (4).

Příklad. Nechť náhodná proměnná ξ nabývá hodnot x plošného obsahu průměru částice, který stanovíme např. mikroskopicky a nechť příslušná hustota $f(x)$ je definována vztahem (1), kde parametry α_x a β_x jsou předem známý nebo jejich hodnoty byly odhadnuty na základě výsledků provedených měření. Hledejme nyní hustotu, která přísluší rozdělení objemu častic kuličitého tvaru. Označme-li η náhodnou proměnnou, která nabývá hodnot objemu častic, zřejmě pro ni platí

$$\eta = \frac{4}{3\sqrt{\pi}} \xi^3.$$

Hustota příslušná náhodné proměnné η je pak definována vztahem (5), v němž pro parametry α_y a β_y platí podle (6)

$$\begin{aligned} \lg \alpha_y &= \frac{3}{2} \lg \alpha_x + \lg \frac{4}{3\sqrt{\pi}}, \\ \beta_y^2 &= \left(\frac{3}{2} \right)^2 \beta_x^2. \end{aligned}$$

b) Stanovme nyní odhady parametrů α_x a β_x^2 rozdělení náhodné proměnné ξ metodou maximální věrohodnosti.

Nechť x_1, x_2, \dots, x_n je n pozorovaných hodnot na náhodné proměnné ξ . Potom funkce věrohodnosti pro tento náhodný výběr ze základního souboru s neznámými parametry α_x a β_x má tento tvar

$$J(x_1, x_2, \dots, x_n, \alpha_x, \beta_x) = \lg \prod_{i=1}^n f(x_i) = \lg \left(\frac{1}{\sqrt{2\pi} \beta_x} \right)^n \prod_{i=1}^n \frac{1}{x_i} e^{-\frac{1}{2} \left(\frac{\lg x_i - \lg \alpha_x}{\beta_x} \right)^2}.$$

$$= \frac{h \alpha^k e^{\frac{k^2 \beta^2}{2}}}{\sqrt{2\pi}} \int_{-\infty}^{+\infty} e^{-\frac{1}{2}(y - k\beta)^2} dy = h \alpha^k e^{\frac{k^2 \beta^2}{2}}. \quad (15)$$

Maximálně věrohodné odhady parametrů α_x a β_x , které označíme a_x a b_x , pak stanovíme řešení rovnic:

$$\frac{\partial J(x_1, x_2, \dots, x_n, \alpha_x, \beta_x)}{\partial \alpha_x} = 0, \quad (8)$$

$$\frac{\partial J(x_1, x_2, \dots, x_n, \alpha_x, \beta_x)}{\partial \beta_x} = 0. \quad (9)$$

Snadno zjistíme, že platí

$$\hat{\alpha}_x = a_x = e^{\frac{1}{n} \sum_{i=1}^n \lg x_i}, \quad (10)$$

$$\hat{\beta}_x^2 = b_x^2 = \frac{1}{n} \sum_{i=1}^n (\lg x_i - \lg \hat{\alpha}_x)^2. \quad (11)$$

Řešení jednotlivých úloh

a) Řešení úloh A.1 ÷ A.3. Uvažujme náhodnou proměnnou ξ , které přísluší hustota

$$f(x) = \frac{1}{\sqrt{2\pi} \beta x} e^{-\frac{1}{2} \left(\frac{\lg x - \lg a}{\beta} \right)^2}, \quad 0 < x < \infty. \quad (12)$$

Položme opět

$$g(\xi) = h \xi^k \quad (h > 0, k > 0). \quad (13)$$

Vzhledem ke vztahu (12) a (13) je střední hodnota

$$E[g(\xi)] = E[h \xi^k] = \int_0^\infty \frac{1}{\sqrt{2\pi} \beta x} h x^k e^{-\frac{1}{2} \left(\frac{\lg x - \lg a}{\beta} \right)^2} dx. \quad (14)$$

Provedeme-li substituci

$$y = \frac{\lg x - \lg a}{\beta},$$

dostaváme

$$E(h \xi^k) = \int_{-\infty}^{+\infty} \frac{1}{\sqrt{2\pi}} h \alpha^k e^{-\frac{1}{2}(y^2 - 2ky)} dy =$$

$$= \frac{h \alpha^k e^{\frac{k^2 \beta^2}{2}}}{\sqrt{2\pi}} \int_{-\infty}^{+\infty} e^{-\frac{1}{2}(y - k\beta)^2} dy = h \alpha^k e^{\frac{k^2 \beta^2}{2}}. \quad (15)$$

Pode toho, jakých hodnot nabývá náhodná proměnná ξ , získává i funkce $g(\xi)$ při řešení úloh A.1 – A.3 různých tvarů.

Označme-li nyní N počet částic na sledované ploše, L celkovou plochu, kterou zaujímá na sledované ploše sklítka nebo snímku N pozorovaných částic, P celkový povrch všech N pozorovaných částic a W objem těchto částic, potom odhady \hat{L} , \hat{P} a \hat{W} jsou dány součinem

$$N \cdot E[g(x)], \quad (16)$$

kde hodnoty $E[g(x)]$ pro různé vyšetřované případy jsou uvedeny v tab. 1.

Tabulka 1

Náhodná proměnná ξ nabírává hodnotu	L		P		W	
	$g(x)$	$E[g(x)]$	$g(x)$	$E[g(x)]$	$g(x)$	$E[g(x)]$
Průměrnou x	$\frac{\pi x^2}{4}$	$\frac{\pi}{4} \alpha^2 e^{\frac{9}{8} \beta^2}$	πx^2	$\pi \alpha^2 e^{\frac{9}{8} \beta^2}$	$\frac{\pi x^3}{6}$	$\frac{\pi}{6} \alpha^3 e^{\frac{9}{8} \beta^2}$
Plošného obsahu x částice	x	$\alpha e^{\frac{3}{2}}$	$4x$	$4x e^{\frac{\beta^2}{2}}$	$\frac{4}{3} x^{\frac{3}{2}}$	$\frac{4}{3} \frac{1}{\sqrt{\pi}} \alpha^{\frac{3}{2}} e^{\frac{9}{8} \beta^2}$

Příklad. Předpokládajme, že výsledky měření plošného obsahu průměru částic jsme uspořádali do skupinového rozdělení četnosti a že jsme vypočetli odhady a a b parametrů α a β . Chceme-li nyní stanovit např. celkový objem částic (při splnění předpokladů o tvaru částic a o rozdělení rozměru částic) dosadíme odhady a a b do vztahu (16). Zřejmě dostaneme

$$\hat{W} = N \cdot \frac{4}{3\sqrt{\pi}} \alpha^{\frac{3}{2}} e^{\frac{9}{8} \beta^2}.$$

b) Řešení úloh B.1 ÷ B.3. Uvažujme opět náhodnou proměnnou ξ , které přísluší hustota definovaná vztahem (12) a funkci této náhodné proměnné $g(\xi)$,

definovanou vztahem (13). Pro distribuční funkci náhodné proměnné $g(\xi)$ pak platí

$$\begin{aligned} H[hx_1^k] &= \frac{1}{\alpha^k h \frac{\beta^k p^k}{2}} \int_0^{x_1} h x^k \frac{1}{\sqrt{2\pi} \beta x} e^{-\frac{1}{2} \left(\frac{\lg x - \lg \alpha}{\beta} \right)^2} dx = \\ &= \frac{1}{\sqrt{2\pi}} \int_{-\infty}^z e^{-\frac{t^2}{2}} dt = \Phi(z), \end{aligned} \quad (17)$$

kde hornímez integrálu

$$z = \frac{\lg x_1 - \lg \alpha}{\beta} - k\beta.$$

Hodnoty distribuční funkce normálního rozdělení $\Phi(z)$ jsou tabulovány např. v [5]. Hodnoty hornímez z jsou pro různé vyšetřované případy uvedeny v tab. 2.

Tabulka 2

Náhodná proměnná ξ nabyvá hodnot	L		P		W	
	$g(x)$	z	$g(x)$	z	$g(x)$	z
Průměru x částice	$\frac{\pi x^2}{4}$	$\frac{\lg x_1 - \lg \alpha}{\beta} - 2\beta$	πx^2	$\frac{\lg x_1 - \lg \alpha}{\beta} - 2\beta$	$\frac{\pi x^3}{6}$	$\frac{\lg x_1 - \lg \alpha}{\beta} - 3\beta$
Plošného obsahu x částice	x	$\frac{\lg x_1 - \lg \alpha}{\beta} - \beta$	$4x$	$\frac{\lg x_1 - \lg \alpha}{\beta} - \beta$	$\frac{4x^3}{3\sqrt{\pi}}$	$\frac{\lg x_1 - \lg \alpha}{\beta} - \frac{3}{2}\beta$

Předpokládejme, že hodnoty parametrů α a β jsou známý. Potom např. podíl p plochy, kterou zaujmají všechny částice jednoho druhu na ploše snímku směsi, při čemž obsah průměru těchto částic je nejvýše roven x_1 , je dán hodnotou integrálu

$$p(x_1) = \frac{1}{\sqrt{2\pi}} \int_{-\infty}^{\frac{\lg x_1 - \lg \alpha}{\beta} - \beta} e^{-\frac{t^2}{2}} dt, \quad 0 \leq p(x) \leq 1.$$

Při prosevnu prágkovitých materiálů se pak setkáváme s obrácenou úlohou: chceme stanovit např. podíl objemu zbytku Z zrn na sítu, jejichž průměr je větší než hodnota x_1 . Tento podíl je dán hodnotou integrálu

$$Z(x_1) = \frac{1}{\sqrt{2\pi}} \int_0^{\infty} e^{-\frac{t^2}{2}} dt, \quad 0 \leq Z(x) \leq 1.$$

Podíl objemu zrn, jejichž průměr leží v intervalu $x_a < x < x_b$, je pak dán rozdílem

$$Z(x_a) - Z(x_b).$$

c) Řešení úlohy C. Další úloha, se kterou se setkáváme při vyhodnocování snímků, je stanovení počtu částic na sledované ploše. Je pochopitelné, že při vyhodnocování větších ploch nestanovujeme počet částic přesně, ale odhadujeme jej na základě počtu částic zjištěných na menších plochách, jejichž velikost pokládáme za jednotku. Z okrajových částic, které neleží zcela uvnitř celkového počtu částic pouze ty, jejichž střed leží ještě uvnitř hranic. Úlohou nyní je stanovit odhad počtu částic na celé ploše při daném koeficientu spožitosti. Při řešení této úlohy budeme o částicích předpokládat, že pocházejí z homogenního celku a že tedy jejich rozdíly se vzájemně velmi málo liší. Nechť A je celková slodovaná plocha snímku. Nechť δ je náhodná proměnná, která nabývá hodnot počtu částic d na jednotkové ploše.

Předpokládejme, že nanožina pevných (nepohybivých) částic je na ploše A rozmnístřena zcela náhodně a že jednotlivé části slodované plochy A jsou vzájemně nezávislé. Potom pravděpodobnost, že na jednotkové ploše na-

počteme d nebo méně částic je obvykle vyjadřována součtem prvých $(d+1)$ členů Poissonovy exponentiely

$$P(\delta \leq d; \lambda) = \sum_{j=0}^d \frac{e^{-\lambda} \lambda^j}{j!}, \quad (19)$$

kde parametr λ určuje průměrný počet částic připadající na jednotku plochy. Očekávaný počet částic N na ploše A můžeme pak odhadnout ze vztahu

$$N = A \cdot \lambda. \quad (20)$$

Odhad neznámé hodnoty parametru λ můžeme provést dvojím způsobem:
a) na základě počtu částic, které jsme zjistili při jednom náhodném položení jednotkové plochy;

b) na základě průměrného počtu částic, který jsme určili z n výsledků náhodného položení jednotkové plochy.

V obou případech pak stanovujeme tzv. intervalový odhad parametru λ při daném koeficientu spolehlivosti ε .

Zabývejme se nejprve případem a). Předpokládejme, že na jednotkové ploše jsme napočetli d částic. Označme $\lambda(d, \varepsilon_1, 1)$ a $\lambda(d, \varepsilon_2, 1)$ dolní, resp. horní hranici intervalu spolehlivosti parametru λ při koeficientu spolehlivosti $\varepsilon = 1 - 2\varepsilon_2$ ($\varepsilon_1 + \varepsilon_2 = 1$). Hodnoty $\lambda(d, \varepsilon_1, 1)$ a $\lambda(d, \varepsilon_2, 1)$ jsou uvedeny pro hodnoty $0 \leq d \leq 100$ a $\varepsilon = 0,98; 0,96; 0,90$ a $0,80$ v tab. 3, která byla na počtena autorem článku. Potom vzhledem ke vztahu (20) můžeme stanovit intervalový odhad celkového počtu N částic na ploše A s pravděpodobností ε takto:

$$P(N_1 \leq N \leq N_2) = \varepsilon. \quad (21)$$

Tabulka 3

d	$\varepsilon = 0,98$		$\varepsilon = 0,96$		$\varepsilon = 0,90$		$\varepsilon = 0,80$	
	$\lambda(d, \varepsilon_1, 1)$	$\lambda(d, \varepsilon_2, 1)$						
0	0,00	4,61	0,00	3,91	0,00	3,00	0,00	2,30
1	0,01	6,64	0,02	5,83	0,05	4,74	0,11	3,89
2	0,15	8,41	0,21	7,52	0,36	6,30	0,53	5,32
3	0,44	10,05	0,57	9,08	0,82	7,75	1,10	6,68
4	0,82	11,60	1,02	10,58	1,37	9,15	1,75	7,99
5	1,28	13,11	1,53	12,03	1,97	10,51	2,43	9,28
6	1,79	14,57	2,09	13,44	2,61	11,84	3,15	10,53
7	2,33	16,00	2,68	14,82	3,28	13,15	3,90	11,77
8	2,91	17,40	3,31	16,17	3,98	14,44	4,66	13,00
9	3,51	18,78	3,95	17,51	4,70	15,71	5,43	14,20
10	4,13	20,14	4,62	18,83	5,43	16,96	6,22	15,40
11	4,77	21,49	5,30	20,14	6,17	18,21	7,02	16,60
12	5,43	22,82	5,99	21,43	6,92	19,44	7,83	17,78
13	6,10	24,14	6,70	22,71	7,68	20,68	8,65	18,96
14	6,78	25,46	7,42	23,98	8,46	21,90	9,47	20,13
15	7,47	26,75	8,15	25,24	9,25	23,09	10,30	21,29
16	8,2	28,0	8,9	26,5	10,0	24,3	11,1	22,5
17	8,9	29,3	9,6	27,7	10,8	25,5	12,0	23,6
18	9,6	30,6	10,4	29,0	11,6	27,9	12,8	24,7
19	10,3	31,8	11,1	30,2	12,4	27,9	13,7	25,9
20	11,1	33,1	11,9	31,5	13,2	29,1	14,5	27,0
21	11,8	34,4	12,7	32,7	14,1	30,2	15,4	28,2
22	12,6	35,6	13,5	33,9	14,9	31,4	16,2	29,3
23	13,3	36,8	14,2	35,1	15,7	32,6	17,1	30,5
24	14,1	38,1	15,0	36,3	16,5	33,8	18,0	31,6
25	14,8	39,3	15,8	37,5	17,4	34,9	18,9	32,7
26	15,6	40,5	16,6	38,7	18,2	36,1	19,7	33,8
27	16,4	41,8	17,4	39,9	19,1	37,2	20,6	35,0
28	17,2	43,0	18,2	41,1	19,9	38,4	21,5	36,1
29	18,0	44,2	19,0	42,3	20,7	39,5	22,4	37,2
30	18,7	45,4	19,9	43,5	21,6	40,7	23,2	38,3
31	19,5	46,6	20,7	44,7	22,4	41,8	24,1	39,4
32	20,3	47,8	21,5	45,8	23,3	43,0	25,0	40,5
33	21,1	49,0	22,3	47,0	24,1	44,1	25,9	41,7
34	21,9	50,2	23,1	48,2	25,0	45,3	26,8	42,8
35	22,7	51,4	23,9	49,4	25,9	46,4	27,7	43,9
36	23,5	52,6	24,8	50,5	26,7	47,5	28,6	45,0
37	24,3	53,8	25,6	51,7	27,6	48,7	29,5	46,1
38	25,1	55,0	26,4	52,9	28,5	49,8	30,4	47,2
39	25,9	56,2	27,3	54,0	29,3	51,0	31,2	48,3
40	26,8	57,3	28,1	55,2	30,2	52,1	32,1	49,4
41	27,6	58,5	28,9	56,4	31,0	53,2	33,0	50,5
42	28,4	59,7	29,8	57,5	31,9	54,3	33,9	51,6
43	29,2	60,9	30,6	58,7	32,8	55,5	34,8	52,7
44	30,0	62,1	31,5	59,8	33,7	56,6	35,7	53,8
45	30,9	63,2	32,3	59,1	34,5	57,8	36,6	54,9

kde

$$\begin{aligned} N_1 &= A \cdot \lambda(d, \varepsilon_1, 1), \\ N_2 &= A \cdot \lambda(d, \varepsilon_2, 1). \end{aligned} \quad (22)$$

Označme v případě b) pomocí d_i ($i = 1, 2, \dots, n$) počet částic zjištěný na ploše snímku při i -tém položení jednotkové plochy. Jestliže počet položení n je dostatečně velký ($n \geq 20$), můžeme určit dolní a horní hranici $\lambda(\bar{d}, \varepsilon_i, n)$ a $\lambda(\bar{d}, \varepsilon_2, n)$ intervalu spolehlivosti parametru λ při daném koeficientu spo-

d	$\varepsilon = 0,98$		$\varepsilon = 0,96$		$\varepsilon = 0,90$		$\varepsilon = 0,80$	
	$\lambda(d, \varepsilon_1, 1)$	$\lambda(d, \varepsilon_2, 1)$						
46	31,7	64,4	33,2	62,1	35,4	58,9	37,6	56,0
47	32,5	65,6	34,0	63,3	36,3	60,0	38,5	57,1
48	33,4	66,7	34,9	64,4	37,2	61,1	39,4	58,2
49	34,2	67,9	35,7	65,6	38,0	62,2	40,3	59,3
50	35,0	69,1	36,6	66,7	38,9	63,3	41,2	60,3
52	36,7	71,4	38,3	69,0	40,7	65,5	43,0	62,5
54	38,4	73,7	40,0	71,3	42,5	67,7	44,8	64,7
56	40,1	76,0	41,7	73,6	44,3	70,0	46,7	66,9
58	41,8	78,3	43,4	75,9	46,1	72,2	48,5	69,0
60	43,5	80,6	45,2	78,1	47,9	74,4	50,3	71,2
62	45,2	82,9	46,9	80,4	49,6	76,6	52,1	73,3
64	46,9	85,2	48,4	82,6	51,4	78,8	54,0	75,5
66	48,6	87,5	50,4	84,8	53,2	81,0	55,8	77,7
68	50,3	89,8	52,2	87,1	55,0	83,2	57,7	79,8
70	52,0	92,1	53,9	89,4	56,8	85,4	59,5	82,0
72	53,7	94,3	55,6	91,6	58,6	87,6	61,4	84,2
74	55,5	96,6	57,4	93,8	60,4	89,8	65,1	88,5
76	57,2	98,9	59,2	96,1	62,2	92,0	66,9	90,6
78	58,9	101,1	61,0	98,3	64,1	94,2	68,8	92,7
80	60,7	103,4	62,7	100,6	65,9	96,4	70,6	92,7
82	62,4	105,7	64,5	102,8	67,7	98,6	70,6	94,9
84	64,1	107,9	66,3	105,0	69,5	100,7	72,5	97,0
86	65,9	110,1	68,1	107,2	71,3	102,9	74,3	99,1
88	67,6	112,4	69,8	109,4	73,2	105,1	76,2	101,3
90	69,4	114,7	71,6	111,6	75,0	107,2	78,1	103,4
92	71,2	116,9	73,4	113,9	76,8	109,4	79,9	105,6
94	72,9	119,1	75,2	116,1	78,7	111,6	81,8	107,7
96	74,7	121,3	77,0	118,3	80,5	113,7	83,7	109,3
98	76,5	123,6	78,8	120,5	82,3	115,9	85,5	111,9
100	78,2	125,9	80,5	122,7	84,2	118,1	87,4	114,1

$$\lambda(\bar{d}, \varepsilon_2, n) = \bar{d} + k_e \sqrt{\frac{\bar{d}}{n}}, \quad (23)$$

kde opět $\varepsilon = 1 - 2\varepsilon_2$ a $\varepsilon_1 + \varepsilon_2 = 1$. Hodnoty k_e jsou uvedeny v tab. 4.

Tabulka 4

ε	0,90	0,95	0,955	0,99	0,997
k_ε	1,645	1,960	2,000	2,576	3,000

Veličina \bar{d} je definována tímto vztahem:

$$\bar{d} = \frac{1}{n} \sum_{i=1}^n d_i. \quad (24)$$

Můžeme tedy vzhledem ke vztahu (20) stanovit intervalový odhad celkového počtu N částic na ploše A s pravděpodobností ε

$$N'_1 \leq N \leq N'_2, \quad (25)$$

$$\begin{aligned} N'_1 &= A \cdot \lambda(\bar{d}, \varepsilon_1, n), \\ N'_2 &= A \cdot \lambda(\bar{d}, \varepsilon_2, n). \end{aligned} \quad (26)$$

Vzhledem k výsledkům (21) a (25) můžeme provést úpravu výsledku, které jsme získali při řešení úloh A.1–A.3.

Jestliže při zjišťování odhadu celkové plochy částic L , celkového objemu W a celkového povrchu P počet částic na vyhodnocované ploše snímku pouze použít ve vztahu (16) výsledku (21) a (25). Platí tedy např. pro odhad celkové plochy částic L pro případ, kdy náhodná proměnná ξ nabývá hodnot průměru částice, vzhledem k rovnici (21)

$$P\{A \cdot \lambda(d, \varepsilon_1, 1) \cdot \frac{\pi}{4} \alpha^2 e^{2\beta} \leq L \leq A \cdot \lambda(d, \varepsilon_2, 1) \cdot \frac{\pi}{4} \alpha^2 e^{2\beta}\} = \varepsilon$$

a vzhledem k rovnici (25)

$$P\left\{A \cdot \lambda(\bar{d}, \varepsilon_1, n) \cdot \frac{\pi}{4} \alpha^2 e^{2\beta} \leq L \leq A \cdot \lambda(\bar{d}, \varepsilon_2, n) \cdot \frac{\pi}{4} \alpha^2 e^{2\beta}\right\} = \varepsilon.$$

Výpočet tabulky 3. Nechť δ je náhodná proměnná, která nabývá hodnot d počtu částic, který jsme zjistili při jednom položení jednotkové plochy. Potom pravděpodobnost

$$P(\delta \leq d; \lambda) = e^{-\lambda} \left(1 + \frac{\lambda}{1!} + \frac{\lambda^2}{2!} + \dots + \frac{\lambda^d}{d!}\right), \quad (27)$$

kde λ je parametr vyjadrující průměrný počet částic na jednotku plochy.

Hledejme nyní pro hodnoty $0 \leq d \leq 100$ hodnoty λ takové, že

$$P(\delta \leq d - 1; \lambda) = \varepsilon_1, \quad (28)$$

$$P(\delta \leq d; \lambda) = \varepsilon_2, \quad (29)$$

kde pokládáme postupně $\varepsilon_1 = 0,99; 0,98; 0,95; 0,90$ a $\varepsilon_2 = 0,01; 0,02; 0,05; 0,10$. Hodnoty λ , které získáme řešením rovnic (28) a (29), označme $\lambda(d, \varepsilon_1, 1)$ a $\lambda(d, \varepsilon_2, 1)$. Jsou to tzv. dolní, resp. horní hrance intervalu spolehlivosti pro parametr λ , vypočtené na základě výběrové hodnoty d . Pro $d = 0$ dolní hrance $\lambda(d, \varepsilon_1, 1) = 0$.

Rешení rovnic (28) resp. (29) lze provést tímto postupem. Ponevadž pomocí integrace per partes lze dokázat, že

$$\frac{1}{d!} \int_t^\infty t^d e^{-t} dt = e^{-t} \left(\frac{\lambda^d}{d!} + \frac{\lambda^{d-1}}{(d-1)!} + \dots + \frac{\lambda}{1!} + 1 \right),$$

platí

$$\begin{aligned} P(\delta \leq d; \lambda) &= \frac{1}{d!} \int_t^\infty t^d e^{-t} dt, \\ &= 1 - \frac{1}{d!} \int_0^t t^d e^{-t} dt. \end{aligned} \quad (30)$$

Položíme-li nyní pro výpočet dolních hranic $\lambda(d, \varepsilon_1, 1)$

$$t = \frac{\chi^2}{2}, \quad d = \frac{n}{2} - 1 \quad \text{a} \quad \lambda = \frac{\chi^2_1}{2}$$

a pro výpočet horních hranic $\lambda(d, \varepsilon_2, 1)$

$$t = \frac{\chi^2}{2}, \quad d = \frac{n}{2} \quad \text{a} \quad \lambda = \frac{\chi^2_2}{2},$$

můžeme vyjádřit integrály na pravé straně rovnic (30), resp. (31) pomocí distribuční funkce χ^2 -rozdělení s n stupni volnosti, která je pro procentní hodnoty χ^2_p tabulována pro $n \leq 30$ na př. v [5]. Pro výpočet hodnot χ^2_p pro $30 < n \leq 202$ použijeme vztahu odvozeného Wilsonem a Hilfertym, podle kterého proměnná $\left(\frac{\chi^2}{n}\right)^{\frac{1}{2}}$ má normální rozdělení $N\left(1 - \frac{2}{9n}; \sqrt{\frac{2}{9n}}\right)$. Tato approximace je navržena např. v práci Blomové [6].

Závěr

Ve srovnání s dosud používanými vztahy pro výpočet odhadu celkové plochy, povrchu a objemu, které zaujmají částice jednoho druhu na dané ploše snímku, obsahují vztahy odvozené v tomto článku ještě parametr, který charakterizuje rozptýlení sledované vlastnosti částice. Pro případy, kdy počet částic pouze odhadujeme, jsou výsledné vztahy vyjádřeny intervalovým odhadem, který je vázán na požadovaný stupeň spolehlivosti.

LITERATURA

- [1] G. Herdan, Small particle statistics. Elsevier Publishing Company, 1953.
- [2] S. Drápal, V. Horálek, Z. Režný, Mřížková kvantitativní metalografická analýza, Hutičké listy 1957, č. 6.
- [3] W. Dickenscheid, Une méthode de calcul des grains et son application, Métaux corrosion industries 1954, č. 341.
- [4] S. Drápal, V. Horálek, Některé vztahy mezi rovinatými a prostorovými parametry struktury materiálu (dosud nepublikováno).
- [5] J. Janko, Tabulky k matematické statistice, Praha 1950.
- [6] G. Blom, Transformation of the binomial, negative binomial, Poisson and χ^2 -distribution, Biometrika 1954, č. 3 a 4.
- [7] A. N. Kolmogorov, Über das logarithmisch-normalen Verteilungsgesetz der Dimensionen der Teilchen bei Zerstückelung, Comptes rendus de l'Académie des Sciences de l'URSS 1941, č. 2. Dostoj 7. 8. 1957.

Výzkumný ústav tepelné techniky, Praha.

ТЕОРЕТИЧЕСКОЕ РЕШЕНИЕ НЕКОТОРЫХ ЗАДАЧ

О ЗЕРНИСТЫХ МАТЕРИАЛАХ

ВРАТИСЛАВ ГОРАЛЕК

Выводы

В статьи дается решение случаев происходящих при уточнении некоторых качественных и количественных свойств зернистых материалов на снимках или на микроскопических стеклянках.

По сравнению с отношениями до сих пор применяемыми для вычисления оценки суммарной площади проекций, суммарной поверхности и суммарного объема, которые занимают зерна одного типа на плоскости снимка, выведеные в этой статье формулы содержат параметр, который характеризует дисперсию свойств зерен. О распределении диаметров зерен предполагается, что оно логарифмически нормальное.

В случаях когда количество зерен на плоскости снимка только оценивается, оценка дается интервалом, который зависит от определенной степени доверительности.

A THEORETICAL SOLUTION OF CERTAIN PROBLEMS

ABOUT POWDER MATERIALS

VRATISLAV HORÁLEK

Summary

The paper contains a solution of problems occurring in practice by the ascertainment of several qualitative and quantitative characteristics of powder materials randomly distributed over a microscope slide.

In comparison with relations till now used for computation an estimate of total area of projection, of total surface and of total volume occupied by particles of one sort on microscope slide, the formulae derived in this paper contain still a parameter, which describes the dispersion of checked quality characteristic of particles. It is assumed that the distribution of diameters of particles is logarithmicnormal. In the cases, when the number of particles on the microscope slide is estimated, the final formulae are expressed as confidence interval in dependence on chosen confidence coefficient.